

# İŞİTSEL BEYİN SAPI CEVAPLARININ POSTERİOR FOSSA LEZYONLARINDA TANIYA YOL GÖSTEREN BULGULARI

REFERENCE SIGNS OF AUDITORY BRAINSTEM RESPONSES IN THE DETECTION OF  
POSTERIOR FOSSA LESIONS

Niyazi MUŞ, Ferruh GEZEN, Sertaç YETİŞER, Altay BEDÜK, Turgut KÖKSEL

GATA, KBB (NM, SY) Nöroşirürji (FG, AB, TK) A.B.D.1

Türk Nöroşirürji Dergisi 2 : 86-100, 1991

**ÖZET :** Uyarılmış işitme potansiyelleri kayıt tekniği, retrokoklear patolojilerin tanısında bilgisayarlı görüntüleme yöntemlerine kuvvetli bir alternatif olma durumuna gelmiştir. Özellikle son 25 yılda yöntemin gösterdiği gelişmeler, lezyonların henüz çok küçük boyutlardaken teşhis edilebilmeleri imkanını sağlamaktadır.

İşitsel beyin sapi cevapları (Auditory Brainstem Responses-ABR) otonörolojik tanıda çok önemli yeri olan bir test yöntemidir. ABR'nin morfolojik ve sayısal analizi ile işitme yollarını etkileyen posterior fossa tümörlerinde, yüzde yüze yakın bir doğruluk oranında teşhis yapılmaktadır.

Bu çalışmada ABR patolojisi bulunan 25 olguda elde edilen elektrofizyolojik bulgular, kalitatif ve kuantitatif açıdan analiz edilmiştir. Sonuçta, tümör tanısında en diagnostik bulguların, geç komponentleri bulunmayan incomplete cevap paterni ile inter pik intervallerin normal değerlerle ve interaural mukayesesinde elde edilen patolojik değerler olduğu görülmüştür.

**Anahtar Kelimeler :** Posterior Fossa Tümörleri, ABR.

## GİRİŞ

İşitme yollarını etkileyen posterior fossa tümörlerinde ilk bulgu, çoğu zaman kokleovestibüler sisteme ait semptomlardan biridir. Bu bulgu ya bir işitme kaybı, ya bir vertigo atağı veya dengesizlik, ya da sadece bir tinnitus olabilir. Bu bulgulara sahip pek çok sayıda hastalık arasında retrokoklear bir patolojiyi ayırmak, çok zor ve gerek hekim gerek hasta açısından oldukça külfetlidir.

Retrokoklear lezyonların tanısında kullanılan klinik, odyovestibüler, radyolojik ve elektrodiagnostik muayene yöntemleri dikkatli ve titiz bir prosedür gerektirirler. Aksi halde tanıda yanlış payı çok yükseılır. Koklea ötesi lezyonların teşhisinde en yüksek doğruluk oranı bilgisayarlı görüntüleme yöntemleri ve testlerle elde edilmektedir 6,9,29 elektrofizyolojik. Rekrokoklear patolojilerin erken tanısında lezyonla-

**SUMMARY :** The recording procedure of auditory evoked potentials has been becoming a powerful alternative method to computerized imaging techniques. Particularly, improvements in this method over last 25 years, have offered opportunity of identification of retrocochlear lesions while they are very small dimensions yet.

Auditory brainstem responses are very important testing methods in otoneurological diagnosis. Posterior fossa tumors which have effected auditory pathways have been detected approximately with 100 % truth rate with morphologic and quantitative analysis of ABR.

In the present study, electrophysiologic findings obtained from 25 cases with ABR pathologies have been quantitatively and qualitatively analyzed. It has been a result of this analysis that incomplete response patterns without late components and pathologic values which are obtained by comparison interpeak intervals with normal and interaural ones are the most diagnostic signs in tumor detection.

**Key Words :** Posterior Fossa Tumors, ABR.

rin belirgin boyuta ulaşmasından önce yeterli bulgu elde edilememesi nedeniyle, klinik ve odyovestibüler muayene yöntemleri yetersiz kalmaktadır. Örneğin Johnson (1977), psikoakustik odyometrinin lezyonların çoğunda sabit olmayan ya da yanıtlan sonuçlar verdiği; 500 akustik nörinoma olgusunun yaklaşık yarısında odyolojik bulguların tümörü teyid etmediğini dile getirmiştir (16).

ABR'nin otonörolojik tanıdaki önemli yeri, işitme yollarını etkileyen pontoserebellar köşe, beyin sapi ve 8. sinir lezyonlarını çok yüksek bir doğruluk oraniyla teşhis edebilmesinden gelmektedir. Birçok araştırmada bu oranın % 90'un üzerinde olduğu bildirilmiştir (1,4,6,8,11,12,37). ABR retrokoklear patolojilerin erken ve doğru tanısında başarı ile kullanılmaktadır. Musiek ve arkadaşları (1983) ABR'nin bu sensitivitesi ile bilgisayarlı görüntüleme yöntemlerine çok yakın değerde bir test olduğunu bildirmekte-

dirler (22). Yöntem, bilgisayarlı radyolojik ve manyetik görüntüleme metodlarının halihazırda en büyük alternatifidir. Hatta dejeneratif beyin sapi lezyonlarının erken tanısında manyetik rezonans görüntüleme yöntemine belirgin bir üstünlüğü olduğu ifade edilmektedir (14).

Retrokoklear patolojilerde meydana gelen ABR değişikliklerini kalitatif ve kantitatif olmak üzere ikiye ayırmak mümkündür. Bunlar içinde kalitatif olanlar, önemli, ancak önemli olduğu kadar da subjektiftirler (6.9.21.29). Kalitatif değişiklikler içinde bazılarını objektif olarak kabul etmekle beraber, kalanlarını objektif addetmek mümkün değildir. Böyle durumlarda bu bulguların sayısal verilerle desteklenmesi gerekmektedir. Ancak nadir de olsa bazı olgularda kalitatif ve kantitatif değerlendirmeden biri, ya da her ikisi tamamen normal olabilmektedir (28).

Bu çalışmada son üç yıl içinde kliniklerimize kokleovestibüler sisteme ait semptomlardan biri ile başlayan ve ABR'de retrokoklear tutulum saptanan 25 olgu değerlendirilmiştir. Elde edilen ABR verileri hastalıkların kesin tanısı ile birlikte gözden geçirilmiş; tanıya yol gösteren bulgular literatür bilgileriyle beraber değerlendirilmiştir.

## MATERIAL VE METOD

Çalışmamızda işitme kaybı, baş dönmesi, dengesizlik ve tinnitus gibi semptomlardan birine sahip olan ve ABR'de retrokoklear tutulum görülen 25 olgu konu edilmiştir. Bu olgulara dejeneratif beyin sapi lezyonları, hidrosefali, menenjitis, konjenital ve akkiz nöral işitme kaybı gibi retrokoklear ABR bulusu olan hastalar dahil edilmemiştir.

Hastaların klasik odyolojik testleri IAC-5 model klinik odyo-metre, IAC AG-3 model timpanometre ve IAC AZ-7 model Bekesy odyometresi ile yapılmış; elektrofizyolojik testler ses ve elektriksel aktiviteden Faraday Kafesi ile arındırılmış ortamda Nicolet Compact Auditory model elektrodiagnostik sistemle gerçekleştirilmiştir.

Bütün olgular öncelikle titiz bir otonörolojik muayeneden geçirilmiş, özellikle 5.6.7 ve 8. kranial sinirler motor, sensitif ve otonom fonksiyonları itibarı ile değerlendirilmiştir. Odyolojik incelemede 250-8000 Hz arasında hava ve kemik yolu olarak saf ses eşikleri, konuşmayı ayırt etme skorları, elektroakustik empedans bulguları ile stapes refleksi analizi yapılmıştır. Elektrofizyolojik incelemede bütün olgular mutlak uykuda test edilmiştir. Bu maksatla testten yarı saat önce 2 mg flunitrozepam verilmiştir. Ke-

sin tanı için bilgisayarlı tomografi ve manyetik rezonans görüntüleme yöntemine baş vurulmuştur.

ABR testleri daha önce yayınladığımız ve sağlıklı erişkin insanların bulgularını içeren çalışmamızdaki yöntemle gerçekleştirilmiştir (26). Sözü edilen çalışmada elde edilen 47 kulağa ait veriler, bu çalışmamızın kontrol grubu olarak seçilmiştir.

ABR kaydı için 100us süreli klik stimulus uyanarak seçilmiş ve kayıt 150-3000 Hz frekans bandında gerçekleştirilmiştir. Prosesörde üretilen stimuluslar TDH-39P model başlıklı kulağa gönderilmiştir; kayıtlar monoral uyarıla sağlanırken, ipsi ve kontralateral kayıt sistemi ile monitörlere edilmiştir. Hastanın cevabı verteks-ipsilateral mastoid vertikal elektrot lokalizasyonuyla 4 mm çaplı gümüş disk elektrotlarla elde edilmiştir. Toprak elektroodu alın cildine yerleştirilmiştir. Elektrotlardan yükselticilere geçirilen cevaplar, bilgisayara aktarılmıştır. Her bir kayıt için ortalama 2000 uyarı cevabı averajlanırken, artefakt red sistemi otomatik olarak çalıştırılmıştır. Kayıt sırasında elektrot-cilt empedanslarının 5 KO'un altına olmasına özel itina gösterilmiştir.

Stimulus şiddetine ait parametrenin incelendiği bölümde, uyarının saniyedeki tekrarlama oranı 11.4 veya 20 olarak seçilmiştir; uyarının polaritesi alternating, condensation ve rarefaction olmak üzere 3 ayrı polaritede incelenmiştir. Kayıtlar 100 dB nHL stimulus şiddinden başlanarak ve her defasında 10'ar dB azaltılarak, olgunun elektrofizyolojik eşigine kadar yapılmıştır. Bu arada test edilmeyen kulak 35 dB beyaz gürültü ile maskelenmiştir. Bazı olgularda daha iyi cevap elde edilebilmesi nedeniyle 85 dB, 95 dB gibi ara şiddetler de kullanılmıştır.

Elde edilen traselerin morfolojik ve sayısal incelemesinde, EMG gibi teknik gürültüye sebep olan kayıtlar deneme dışında tutulmuştur. Genelde, 80 dB uyarı şiddetine elde edilen cevaplar değerlendirilirken, bazı olgularda elde edilen kayıt kalitesi nedeniyle daha yüksek uyarı şiddetlerine ait cevaplar esas alınmıştır.

Stimulus tekrarlama oranı artışının cevaplara etkisi (Stres Testi) saniyede 11.4, 20, 30, 60 ve 90 tekrarlı uyarılarla ve cevabin en iyi olarak olduğu şiddet düzeylerinde araştırılmıştır. Bu araştırma genellikle 80 dB şiddette ve alternating klik ile yapılrken, bazı olgularda daha yüksek şiddetlere ve diğer polarizasyonlara da gerek duyulmuştur.

Kontralateral cevapların özellikle sayısal analizinde, her iki kulakta elde edilen cevaplara ait en kaliteli traseler seçilmiştir. Bu nedenle bazı olgulardaki değerlendirme, her iki kulak için aynı uyarı şiddetiinde elde edilen cevaplarla yapılmamıştır.

## SONUÇLAR

Olgularımızın 11'i kadın, 14'ü erkek olup, yaşları 11 ile 66 arasında değişmektedir. Ortalama yaşı 39.2 olarak bulunmuştur.

Hastaların şikayetlerine göre yaptığımız sınıflamada en çok rastlanan şikayetin, Tablo - I'de de görüldüğü üzere işitme kaybı (% 72) olduğu görülmüştür. Bunu uğultu ve çınlama şikayeti (% 64) izlemektedir.

**Tablo I : ABR'de retrokoklear tutulum bulguları gösteren 25 olgunun ilk müraacaatlardaki şikayetleri ve bunların oranı.**

ŞİKAYET	OLGU	ORAN
İŞİTME GUÇLUĞU	18	% 72
ÇINLAMA VEYA UĞULTU	16	% 64
BAŞ AĞRISI	11	% 44
BAŞ DÖNMESİ	9	% 36
DENGESİZLİK	8	% 32
YÜZDE UYUŞMA	8	% 32
BULANTI KUSMA	5	% 20
KUVVETSİZLİK	5	% 20
YÜRÜME GUÇLUĞU	4	% 16
YÜZ FELÇİ	2	% 8
SES KİSIKLIĞI	2	% 8
KONUŞMA BOZUKLUĞU	2	% 8
GÖRME BOZUKLUĞU	1	% 4
GÖZ KAYMASI	1	% 4

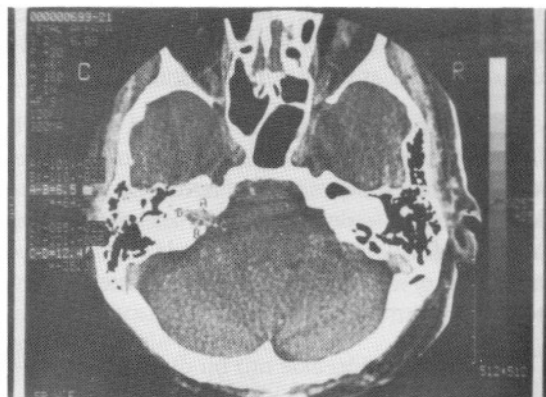
Yapılan nörolojik, otonörolojik ve odyolojik muayenelerde elde edilen bulgulara göre; en çok görülen nörolojik araz hemiparezi veya hemipleji ile larenks paralizisi (% 8), en çok görülen otonörolojik bulgu Romberg pozitifliği (% 32) ve en çok görülen odyolojik bulgu sensorinöral işitme kaybı (% 88) olarak saptanmıştır. Muayene bulguları toplu olarak Tablo - II'de sunulmuştur.

ABR test sonuçları, sunduğumuz çeşitli tablolar da posterior fossanın bir yarısında lokalize olan tümörler ve posterior fossanın orta hattında lokalize olup her iki yarısı da ilgilendiren tümörler olmak üzere iki ana grubu ayrılmıştır. İlk grubun birinci alt grubunu, pontoserebellar köşede yerleşen tümörler oluşturmaktadır. Bunların 3 tanesinin tanısı menin-

gioma, 1'i kapiller hemanjioblastoma, 1'i glomus jugularedir. İkinci alt grubu 8. sinir tümörleri oluşturmaktır, bunlardan birinde tümör bilateraldır. Olgularımızın ikinci ana grubunu posterior fossanın orta hattında yerleşik olup iki yarısı da ilgilendiren tümörlerle tanısı konulamayan iki olgu oluşturmaktadır. Bu gruptaki tümörlerin 2'si glioma, 2'si epandimoma, 2'si serebellar astrositomadır. Bunlardan bir olgu ameliyat olmayı kabul etmediğinden histopatolojik tanısı yoktur. Herhangi bir tanı konamayan iki olgumuz ise, bu kategorinin ikinci alt grubu olarak seçilmiştir.

Tanı konulamayan iki olgumuzda bilgisayarlı tomografi ve manyetik rezonans görüntüleme ile yer kaplayan, ya da dejeneratif bir lezyon saptanamamıştır. Ancak bunlardan birinde (Olgı-25) hemiparezi, ataksi ve görme bozukluğu gibi ağır nörolojik arazler mevcuttu. Bu olguda odyolojik ve elektrofizyolojik olarak retrokoklear tutulum bulguları görülmüştür. Büttün uğraşılara rağmen tanı konulamayan bu hasta, halen yaşamakta ve belirgin bir düzelleme göstermeye beraber, bulgularını kısmen muhafaza etmektedir. Tanı konulamayan ikinci olgumuzda (Olgı-24) ise odyolojik olarak tek taraflı sensorinöral işitme kaybı ve bu tarafta retrokoklear tutulum bulgularından başka bulgu elde edilememiştir.

Olgularımızın lezyonlarında ortalama büyülükler, radyolojik olarak hesaplanmıştır. Posterior fossanın bir yarısında lokalize tümörlerde (Resim-1) tümör çapları 5-65 mm arasında değişirken, orta hat yerleşimli tümörlerde 20-80 mm arasında bulunmuştur.



**Resim I : Sol internal akustik kanalda yerleşik 7 mm çaplı sekizinci sinir schwannomasi (Olgu-15).**

Bütün olgularda elde edilen ABR, morfolojik görünüm, pik ve interpike latanslarının kontrol grubu ile interaural mukayesesesi, stres testi ve kontralateral etkilenme açısından ayrı ayrı değerlendirilmiştir.

**Tablo II : 25 olgunun ABR dışındaki muayene bulguları ve bulguların görülmeye oranları.**

OTONOROLİJİK BULGULAR							
HASTA GRUBU	SSO (1-4 KHZ)		DISCR (1-4 KHZ)		HASTA GRUBU	BULGU	ORAN
TEK TARAFLI LEZYONLAR (HASTA KULAK)	TOTAL	% 24	% 100-80	% 24	TÜM OLGULAR	ATAKİTİK YÜR.	% 20
	105-65	% 29	% 80-60	% 6	TÜM OLGULAR	BABINSKY-WEIL	% 20
	65-40	% 12	% 60-40	-	TÜM OLGULAR	ROMBERG +	% 32
	40-20	% 29	% 40-20	% 12	TÜM OLGULAR	SCHIRMER +	% 12
	NORMAL	% 6	% 20-0	% 59	TÜM OLGULAR	SPONT.NİST.	% 20
TEK TARAFLI LEZYONLAR (SAĞLAM KULAK)	TOTAL	-	% 100-80	% 93	TÜM OLGULAR	KORNEA ANEST.	% 28
	105-65	-	% 80-60	% 7	TÜM OLGULAR	FASİAL HİPOEST.	% 20
	65-40	-	% 60-40	-	TÜM OLGULAR	FASİAL PARAL.	% 8
	40-20	% 33	% 40-20	-	NÖROLOJİK BULGULAR		
	NORMAL	% 67	% 20-0	-			
ORTA HAT LEZYONLARI (HER İKİ KULAK)	TOTAL	% 7	% 100-80	% 72	HASTA GRUBU	BULGU	ORAN
	105-65	-	% 80-60	% 7	TÜM OLGULAR	HEMİPLEJ-PAR.	% 8
	65-40	% 7	% 60-40	% 7	TÜM OLGULAR	LARENKS PAR.	% 8
	40-20	% 29	% 40-20	% 7	TÜM OLGULAR	GÖRME BOZ.	% 4
	NORMAL	% 57	% 20-0	% 7	RADYOLOJİK BULGULAR		
TANISIZ OLGULAR (HER İKİ KULAK)	TOTAL	-	% 100-80	% 50	HASTA GRUBU	TÜMÖR ÇAPı	ORAN
	105-65	-	% 80-60	% 25	TEK TARAFLI L.	0-1 cm	% 24
	65-40	% 25	% 60-40	% 25	TEK TARAFLI L.	1-3 cm	% 47
	40-20	% 50	% 40-20	-	TEK TARAFLI L.	3 cm	% 29
	NORMAL	% 25	% 20-0	-	ORTA HAT L.	0-3 cm	-
TÜM OLGULAR	ANORMAL BEKESY		% 24		ORTA HAT L.	1-3 cm	% 29
TÜM OLGULAR	STAPES REFLEKS YOKLUĞU		% 32		ORTA HAT L.	ORTA HAT L.	% 71
TÜM OLGULAR	STAPES REFLEKS DECAY		% 24		ORTA HAT L.	3 cm	

#### (I) Morfolojik Görünüm Değerlendirilmesi:

Tablo III'de de görüleceği üzere tamamen normal morfolojide dalga formu Grade-I, bazı komponentleri bozuk dalga formu Grade-II, incomplet dalga

formu Grade-III ve yanıt yokluğu Grade-IV olarak sınıflandırılmıştır.

Tablo III : 25 olgunun ABR bulgularının morfolojik analizi.

OLGULAR					CEVAP MORFOLOJİSİ		
POST. FOSSADA BIR YERLEŞİK TÜMÖRLER	OLGU	ADI	YAŞ	SEKS	TANI	TÜMÖRLÜ TARAF	KARŞI TARAF
	1	ZŞ	35	K	R-PSKT	GRADE-IIIa	GRADE-I
	2	NC	66	K	L-PSKT	GRADE-IV	GRADE-II
	3	EU	63	K	R-PSKT	GRADE-IIIa	GRADE-I
	4	KY	37	K	L-PSKT	GRADE-II	GRADE-I
	5	SC	28	E	R-PSKT	GRADE-II	GRADE-I
	6	VÖ	19	E	RL-AN	GRADE-II / GRADE-II	-(*)
	7	SE	43	K	R-AN	GRADE-IIIa	GRADE-I
	8	KK	60	K	R-AN	GRADE-IIIa	GRADE-II
	9	NK	61	E	L-AN	GRADE-IV	GRADE-II
	10	KD	42	K	R-AN	GRADE-IV	GRADE-II
	11	HA	49	E	L-AN	GRADE-IIIb	GRADE-I
	12	HA	51	E	L-AN	GRADE-IIIa	GRADE-I
	13	YA	28	E	R-AN	GRADE-IIIa	GRADE-II
	14	SU	39	K	L-AN	GRADE-IV	GRADE-II
	15	KA	58	E	L-AN	GRADE-II	GRADE-I
	16	MA	61	E	L-AN	GRADE-I	GRADE-I
POST. FOSSADA ORTA HAT TÜMÖRLERİ	OLGU	ADI	YAŞ	SEKS	TANI	SAĞ CEVAPLAR	SOL CEVAPLAR
	17	OT	49	E	BSBT	GRADE-II	GRADE-IV
	18	MK	20	E	BSBT	GRADE-II	GRADE-II
	19	HA	14	E	BSBT	GRADE-IIIc	GRADE-II
	20	KG	21	E	BSBT	GRADE-II	GRADE-I
	21	SB	34	K	BSBT	GRADE-I	GRADE-I
	22	NB	29	E	BSBT	GRADE-I	GRADE-I
	23	HC	11	K	BSBT	GRADE-IV	GRADE-II
	24	YY	22	K	YOK	GRADE-I	GRADE-I
	25	ES	40	E	YOK	GRADE-II	GRADE-I

(\*) Bu olguda tümör bilateraldir.

Grade-I : Komple formda normal cevap.

Grade-II : Bütün komponentleri bulunan ancak bozuk formasyonlu cevap.

Grade-IIIa : Sadece I. dalganın bulunduğu inkomple dalga formu.

Grade-IIIb : Sadece I. ve V. dalgaların bulunduğu inkomple dalga formu.

Grade-IIIc : Sadece I. ve III. dalgaların bulunduğu inkomple dalga formu.

Grade-IV : Komple cevap yokluğu.

R-PSKT : Sağ pontoserebellar köşe tümörü

L-PSKT : Sol pontoserebellar köşe tümörü

R-AN : Sağ akustik nörinoma

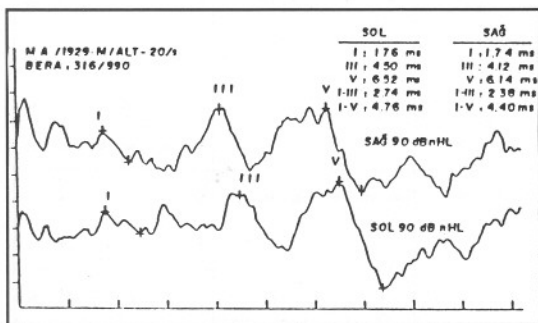
L-AN : Sol akustik nörinoma

RL-AN : Bilateral akustik nörinoma

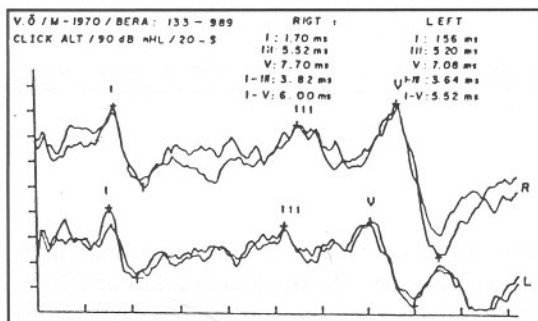
BSBT : Beyin sapı bölgesine yerleşik orta hat

tümörü.

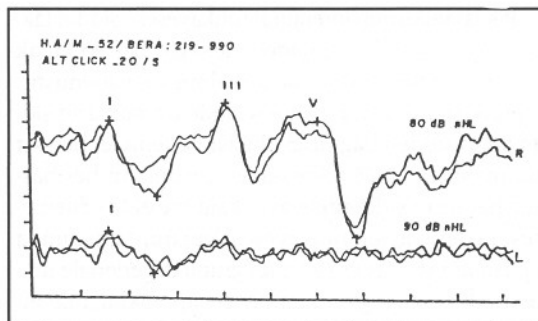
Posterior fossanın bir yarısında lokalize tümörlerde etkilenen kulak tarafında Grade-I form, sadece bir olguda elde edilmiştir (Şekil-I). Diğer olgularda ise patolojik dalga formları birbirlerine yakın oranlarda bulunmuştur (Şekil-II, III, IV). Bu gruptaki olgularda etkilenmeyen kulak tarafında daha çok Grade-I form (% 60) elde edilirken, patolojik formların görülmeye oranı (% 40) olarak saptanmıştır.



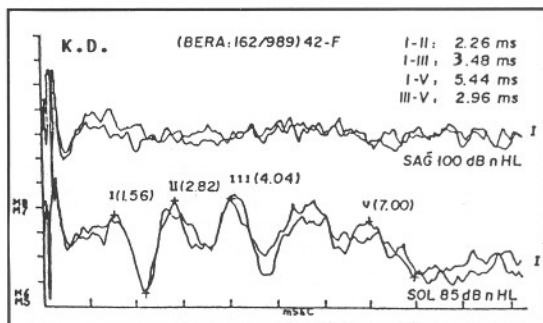
Şekil 1 : 16 numaralı olgunun sağ ve sol ABR traseleri. Her iki cevapta tüm komponentler mevcuttur. Ancak sol ABR trasesinde I-III intervalinin sağa oranla daha geniş olduğu gözle bile görülmektedir.



Şekil 2 : 6 numaralı olgunun sağ ve sol ABR traseleri. Tümörü taraflı olan bu olguda bilateral uzamış I-III intervali ile özellikle sağ taraf cevabındaki gürültü dikkat çekicidir.

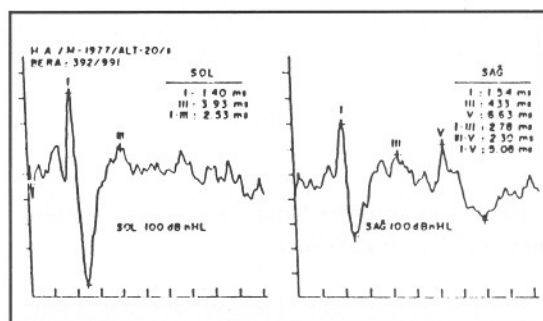


Şekil 3 : 12 numaralı olgunun sağ ve sol cevapları. Sol akustik nörinomali olguda lezyon tarafında sadece I. dalga mevcuttur.



Şekil 4 : 10 numaralı olgunun sağ ve sol cevapları. 65 mm çapında sağ akustik nörinomasi olan bu olgunun sağ cevabı hiçbir dalga içermezken, tümör basisi nedeniyle sol cevapta artan gürültü, IV-V dalga kompleksinde basılma, genişleme ve formasyon bozukluğu dikkat çekmektedir.

Posterior fossanın orta hattında bulunan tümörlerle tanı konulamayan olgularda etkilenen kulak, etkilenmeyen kulak belirlemesi yapılmamış ve her iki taraf bulguları bir arada değerlendirilmiştir. Tümörlü olgularda patolojik formlu dalga oranı % 64 olarak saptanırken (Şekil - V), tanı konulamayan olgularda % 25 olarak bulunmuştur.



Şekil 5 : 19 numaralı olgunun ABR traseleri. Posterior fossada orta hatta yerlesik 80 mm çaplı epandimoma teşhis edilen bu olguda sol kulak cevapları inkomple, sağ kulak cevapları komple fakat bozuk formdadır. Burada dikkat çeken hulus her iki kokleanın normal fonksiyonda olduğunu gösteren yüksek amplitüdü I. dalga varlığı ile, sağ kulakta 5.08 ms olarak ölçülen I-V interilikervalidir.

Kontrateral etkilenmenin morfolojik yönüne ilişkin araştırma, durumun gereği olarak posterior fossanın bir yarısında lokalize olan tümörlerde yapılmıştır. Etkilenen işitme yolu tarafında patolojik dalga formunun görülmeye oranlarının, tümör çapına bağlı olarak bir değişiklik göstermediği dikkat çekmekken; etkilenmeyen tarafta tümör çapının 15 mm'den fazla olduğu olgularda patolojik formlar elde edilmişdir (Tablo-IV).

**Tablo IV : Tek taraflı tümörlü olgularda tümörlü ve tümörsüz taraf ABR bulgularının kalitatif ve kantitatif verilerinin karşılıklı mukayesesi.**

POSTERIOR FOSSADA BİR YARIDA YERLEŞİK TÜMÖRLER	TUMOR ÇAPı	DEĞERLENDİRME	DALGA MORFOLOJİSİ YÜZDESİ		STRES TESTİ YÜZDESİ		NORMALE GORE FARK (TÜMÖRLÜ TARAF) YÜZDESİ (%)				NORMALE GORE FARK (TÜMÖRSÜZ TARAF) YÜZDESİ (%)				INTERAURAL FARK YÜZDESİ (%)								
			TÜMÖRLÜ TARAF	TÜMÖRSÜZ TARAF	TÜMÖRLÜ TARAF	TÜMÖRSÜZ TARAF	I	III	V	1-III	III-V	I-V	I	III	V	1-III	III-V	I-V	I	III	V	1-III	III-V
0-15mm n=6(*)	NORMAL	% 17	% 100	% 33	% 50	66	-	-	-	66	-	75	-	-	25	100	-	60	20	-	20	60	20
	ŞÜPHELİ				-	-	-	-	-	-	-	75	75	75	-	100	-	-	-	20	-	20	
	PATOLOJİK	% 83	-	% 50	% 25	34	66	83	66	-	83	25	25	25	-	-	-	-	-	40	20	-	40
	DEĞERLENDİRİLEMEMEN				% 17	% 25	-	34	17	34	34	17	-	-	-	-	-	40	80	60	40	40	20
16-30mm n=6	NORMAL	-	% 50	% 17	% 66	50	17	17	17	34	17	100	100	83	100	34	100	17	-	-	17	17	-
	ŞÜPHELİ				-	-	-	-	-	-	-	-	-	-	17	-	50	-	33	17	-	-	17
	PATOLOJİK	% 100	% 50	% 17	% 34	17	17	17	17	-	17	-	-	-	-	17	-	-	-	17	17	-	34
	DEĞERLENDİRİLEMEMEN				% 66	-	33	66	66	66	66	-	-	-	-	-	-	50	83	83	66	66	66
31mm VE ÜSTÜ n=5	NORMAL	-	% 40	-	% 40	40	-	-	-	-	-	60	40	20	60	20	40	60	-	-	-	-	-
	ŞÜPHELİ				-	-	-	-	-	-	-	20	20	20	20	20	20	-	-	-	-	-	-
	PATOLOJİK	% 100	% 60	-	% 40	20	-	-	-	-	-	20	40	60	20	60	40	-	-	-	-	-	-
	DEĞERLENDİRİLEMEMEN				% 100	% 20	40	100	100	100	100	-	-	-	-	-	-	40	100	100	100	100	100

(\*) Bu gruptaki bir hastada tümör iki taraftır.

## (II) Pik Ve İnterpik Latansların Kontrol Grubu Değerleri İle Mukayesesı :

Bu mukayesede elde edilen pik latanslar (Tablo V), kontrol grubuna ait ortalama değerlerin 2 SD (standart sapma)'lik bölümü içinde ise normal, 3 SD'lik bölümünde ise şüpheli patolojik ve bunun da üzerinde ise patolojik olarak kabul edilmiştir. Ancak bu kıyaslamayı Grade-III ve Grade-IV dalga formlarının bir miktar kısıtladığını belirtmemiz gereklidir. Buna rağmen Tablo - VI'da görüldüğü üzere; posterior fossanın bir yarısında lokalize olan tümörlerde, normal değer oranının erken komponentlerden geç komponentlere doğru azaldığı, patolojik değerlerin ise tersine bir sayı izlediği saptanmıştır. Aynı gözlem ikinci gruptaki olgularda da olmuştur.

Tek taraflı tümörlerde interpik latanslara ait normal değerler daha çok III-V intervalinde, patolojik değerler ise I-III intervalinde elde edilmiştir. Bu hastalarda etkilenmeyen işitme yolu tarafında patolojik değer oranı hem çok düşük, hem de her iki intervalde birbirlerine yakın oranlarda saptanmıştır.

Orta hat yerleşimli tümörler ile tanı konulamayan olgularda elde edilen oranlar oldukça farklı olmakla beraber, tek taraflı tümörlerin etkilenen taraf bulgularına benzerlik göstermektedir (Tablo - VI).

## (III) Pik Ve İnterpik Latansların Interaural Mukayesesı :

Pik latanslarının interaural mukayesesi, şiddet faktörüne bağımlı olması nedeniyle, eğer her iki kulak aynı şiddetteki stimulus ile uyarılmış ise yapılmıştır. Interpik latansların mukayesesinde ise bunların şiddet faktöründen bağımsız olması nedeniyle, bu şart aranmamıştır. 1'.25. Elde edilen cevapların her hastada her uyarı şiddetinde aynı kalitede elde edilememesi nedeniyle, bu mukayese olguların tamamında yapılamamıştır. Ayrıca kontrol grubu değerleri ile mukayesede olduğu gibi, komple cevap yokluğu ile incomplet cevaplar bu değerlendirmeyi önemli ölçüde kısıtlamıştır.

Çalışmamızda literatürdeki yaygın görüşe uygun olarak 0.29 ms'e kadar interaural farklar normal, 0.30-0.39 ms arasındaki farklar şüpheli patolojik.

Tablo V : 25 olgunun ABR bulgularına ait kantitatif değerler.

OLGULAR		LATANSLAR (ms)										
---------	--	----------------	--	--	--	--	--	--	--	--	--	--

KONTROL GRUBU (47 KULAK)		dB	DAL-I	dB	DAL-III	dB	DAL-V	dB	INT.I-III	dB	INT.III-V	dB	INT.I-V
		100	1.43(0.10)	100	3.58(0.14)	100	5.33(0.20)	100	2.15(0.15)	100	1.74(0.16)	100	3.89(0.20)
		90	1.48(0.10)	90	3.62(0.15)	90	5.43(0.22)	90	2.13(0.16)	90	1.79(0.18)	90	3.93(0.21)
		80	1.63(0.12)	80	3.72(0.14)	80	5.55(0.23)	80	2.08(0.15)	80	1.83(0.15)	80	3.91(0.21)

NO	ADI	YAS	SEKS	TANI	ÇAP	YON	dB	DAL-I		DAL-III		DAL-V		INT.I-III		INT.III-V		INT.I-V	
								dB	ms	dB	ms	dB	ms	dB	ms	dB	ms	dB	ms
1	ZS	35	K	R-PSKT	4.5mm	R	90	1.95	-	90	-	90	-	90	-	90	-	90	-
						L	90	1.76	90	4.26	90	6.85	90	2.52	90	2.59	90	5.11	
2	NC	66	K	L-PSKT	2.5mm	R	90	1.44	90	3.58	90	5.74	90	2.16	90	2.16	90	4.30	
						L	90	-	90	-	90	-	90	-	90	-	90	-	
3	EU	63	K	R-PSKT	4.5mm	R	80	1.46	80	-	80	-	80	-	80	-	80	-	
						L	80	1.52	80	3.70	80	5.44	80	2.18	80	1.74	80	3.92	
4	KY	37	K	L-PSKT	19mm	R	80	1.64	80	3.60	80	5.12	80	1.96	80	1.52	80	3.48	
						L	80	1.86	80	3.96	80	5.78	80	2.10	80	1.82	80	3.92	
5	SC	28	E	R-PSKT	2.5mm	R	90	1.66	90	3.06	90	7.00	90	3.40	90	1.94	90	3.34	
						L	80	1.74	80	3.72	80	5.86	80	1.98	80	2.14	80	4.12	
6	YO	19	E	RL-AN	5-5mm	R	90	1.66	90	3.68	90	7.52	90	4.04	90	1.84	90	3.68	
						L	90	1.58	90	5.44	90	7.08	90	3.86	90	1.64	90	3.50	
7	SE	43	K	R-AN	28mm	R	80	2.06	80	-	80	-	80	-	80	-	80	-	
						L	80	1.74	80	3.96	80	6.06	80	2.22	80	2.10	80	4.32	
8	KK	60	K	R-AN	35mm	R	80	1.48	80	-	80	-	80	-	80	-	80	-	
						L	80	1.52	80	3.70	80	6.02	80	2.18	80	2.32	80	4.50	
9	NK	61	E	L-AN	32mm	R	90	1.98	90	4.06	90	6.26	90	2.08	90	2.20	90	4.28	
						L	90	-	90	-	90	-	90	-	90	-	90	-	
10	KD	42	K	R-AN	65mm	R	80	-	80	-	80	-	80	-	80	-	80	-	
						L	85	1.56	85	4.16	85	7.22	85	2.60	85	3.06	85	5.66	
11	HA	49	E	L-AN	9mm	R	80	1.68	80	4.10	80	6.06	80	2.42	80	1.96	80	4.38	
						L	80	1.66	80	-	80	7.80	80	-	80	-	80	6.14	
12	HA	51	E	L-AN	15mm	R	80	1.62	80	4.12	80	6.06	80	2.50	80	1.94	80	4.44	
						L	80	1.57	80	-	80	-	80	-	80	-	80	-	
13	YA	28	E	R-AN	30mm	R	80	1.80	80	-	80	-	80	-	80	-	80	-	
						L	80	1.50	80	3.32	80	5.72	80	1.82	80	2.42	80	4.22	
14	SU	39	K	L-AN	17mm	R	80	1.66	80	3.68	80	5.92	80	2.02	80	2.24	80	4.26	
						L	80	-	80	-	80	-	80	-	80	-	80	-	
15	KA	58	E	L-AN	7mm	R	80	2.02	80	4.36	80	6.48	80	2.28	80	2.12	80	4.40	
						L	90	1.94	90	5.64	90	7.64	90	3.70	90	2.00	90	5.70	
16	MA	61	E	L-AN	12mm	R	80	1.68	80	4.12	80	6.14	80	2.44	80	2.02	80	4.46	
						L	90	1.76	90	4.50	90	6.40	90	2.74	90	1.90	90	4.64	

NO	ADI	YAS	SEKS	TANI	ÇAP	YON	dB	DAL-I		DAL-III		DAL-V		INT.I-III		INT.III-V		INT.I-V	
								dB	ms	dB	ms	dB	ms	dB	ms	dB	ms	dB	ms
17	OT	49	E	BSBT	35mm	R	90	1.72	90	4.38	90	6.18	90	2.66	90	1.80	90	4.46	
						L	90	-	90	-	90	-	90	-	90	-	90	-	
18	MK	20	E	BSBT	20mm	R	90	2.08	90	4.24	90	7.00	90	2.16	90	2.76	90	4.92	
						L	90	1.74	90	4.52	90	7.30	90	2.78	90	2.78	90	5.66	
19	HA	14	E	BSBT	80mm	R	100	1.54	100	4.33	100	6.33	100	2.78	100	2.30	100	5.08	
						L	100	1.40	100	3.90	100	-	100	-	100	-	100	-	
20	KG	21	E	BSBT	4.5mm	R	80	1.60	80	4.16	80	6.46	80	2.56	80	2.30	80	4.86	
						L	80	1.60	80	4.36	80	6.36	80	2.76	80	2.00	80	4.76	
21	SB	34	K	BSBT	30mm	R	80	1.50	80	3.68	80	5.88	80	2.18	80	2.70	80	4.38	
						L	80	1.76	80	4.48	80	6.62	80	2.72	80	2.14	80	4.66	
22	NB	29	E	BSBT	50mm	R	80	1.52	80	4.14	80	5.86	80	2.62	80	1.72	80	4.34	
						L	80	1.58	80	3.90	80	5.88	80	2.32	80	1.98	80	4.30	
23	HC	11	K	BSBT	55mm	R	80	-	80	-	80	-	80	-	80	-	80	-	
						L	80	1.46	80	4.22	80	7.86	80	2.76	80	3.64	80	6.40	
24	YY	22	K	YOK	-	R	90	1.50	90	3.53	90	5.20	90	2.03	90	1.67	90	3.70	
						L	90	1.57	90	4.33	90	5.93	90	2.76	90	1.60	90	4.32	
25	ES	40	E	YOK	-	R	90	1.76	90	3.84	90	6.16	90	2.08	90	2.32	90	4.40	
						L	90	1.88	90	3.82	90	5.92	90	1.94	90	2.10	90	4.04	

Not : Kontrol grubu verilerinde parantez içindeki rakamlar 1 SD'lik değerleri göstermektedir.

**Tablo VI : 25 olgudan elde edilen pik ve interpik latans değerlerinin kontrol grubu bulgularına göre mukayesesı.**

HASTA GRUBU	DEĞERLEN-DİRME	I	III	V	I-III	III-V	I-V
TEK TARAFLI LEZYONLAR (HASTA KULAK-LAR) n=17	YOK	% 24	% 65	% 59	% 65	% 65	% 59
	PATOLOJİK	% 24	% 29	% 35	% 29		% 35
	ŞÜPHELİ						
	NORMAL	% 52	% 6	% 6	% 6	% 35	% 6
TEK TARAFLI LEZYONLAR (SAĞLAM KULAK-LAR) n=15	YOK						
	PATOLOJİK	% 13	% 20	% 20		% 20	% 7
	ŞÜPHELİ	% 7	% 27	% 27	% 33	% 27	% 33
	NORMAL	% 80	% 53	% 53	% 67	% 53	% 60
ORTA HAT TÜMÖRLERİ (HER İKİ KULAK) n=14	YOK	% 14	% 14	% 21	% 14	% 21	% 21
	PATOLOJİK	% 7	% 65	% 58	% 58	% 36	% 50
	ŞÜPHELİ	% 14			% 7	% 14	% 21
	NORMAL	% 65	% 21	% 21	% 21	% 29	% 8
TANISIZ OLGULAR (HER İKİ KULAK) n=4	YOK						
	PATOLOJİK	% 25	% 25	% 25	% 25		
	ŞÜPHELİ	% 25		% 25		% 25	% 25
	NORMAL	% 50	% 75	% 50	% 75	% 75	% 75

Yok : Dalga elde edilememiştir veya elde edilemeyen dalga nedeniyle interpik interval tayin edilememiştir.

Patolojik : Elde edilen pik ve interpik latans değerleri kontrol grubu verilerinin 3 SD'lik bölümünün üzerindedir.

Şüpheli : Elde edilen pik ve interpik latans değerleri kontrol grubu verilerinin 2 SD'lik bölümünün üzerindedir.

Normal : Elde edilen pik ve interpik latans değerleri kontrol grubu verilerinin 2 SD'lik bölümünün içindedir.

0.40 ms ve üzerindeki farklar patolojik olarak kabul edilmiştir (4,42,43). Kontrol grubumuzda toplam kulakların ortalaması alınmış olmakla beraber, iki taraflı test edilen olgularda interaural maksimum fark 0.25 ms olarak ölçülmüştür (26). Ancak bu olgularımızın hiçbirinde işitme kaybı olmadığını belirtmemiz gereklidir.

Tek taraflı tümörlerde pik latanslar için normal değerler erken komponentlerde yüksek oranda görülrürken, geç komponentlerde patolojik değer oranı çok yüksek bulunmuştur. Bu durumun interpik intervallere yansımıası gerek I-III, gerekse III-V intervallinde birbirine yakın oranda olmuştur. Orta hat tümörleri ile tanısız olgularda pik ve interpik latansların patolojik değer dağılımında belirgin bir özellik saptanmamıştır (Tablo-VII).

**Tablo VII : 25 olguda pik ve interpik latanslarının hastanın diğer kulağına ait bulguları ile mukayesesı (interaural mukayese)**

HASTA GRUBU	DEĞERLEN-DİRME	I	III	V	I-III	III-V	I-V
TEK TARAFLI LEZYONLAR 16 OLGU	ÖLÇÜLEMEDİ	% 44	% 88	% 81	% 69	% 69	% 63
	PATOLOJİK			% 19	% 12		% 25
	ŞÜPHELİ	% 12	% 6		% 7	% 7	% 6
	NORMAL	% 44	% 6		% 12	% 24	% 6
ORTA HAT TÜMÖRLERİ 7 OLGU	ÖLÇÜLEMEDİ	% 29	% 29	% 42	% 29	% 43	% 42
	PATOLOJİK		% 29	% 14	% 29		% 29
	ŞÜPHELİ	% 14		% 14	% 14	% 14	
	NORMAL	% 57	% 42	% 30	% 28	% 43	% 29
TANISIZ HASTALAR 2 OLGU	ÖLÇÜLEMEDİ						
	PATOLOJİK		% 50	% 50	% 50		% 50
	ŞÜPHELİ						% 50
	NORMAL	% 100	% 50	% 50	% 50	% 100	

Ölçülememi : Dalga yokluğu nedeniyle diğer kulakla mukayesenin yapılamaması.

Patolojik : İki kulak bulgusu arasındaki farkın 0.40 ms'nin üzerinde olması.

Şüpheli : İki kulak bulgusu arasındaki farkın 0.30-0.39 ms arasında olması.

Normal : İki kulak bulgusu arasındaki farkın 0.29 ms'e kadar olması.

#### (IV) Stres Testi :

ABR teknlığında stres testi, belirli bir zaman dili-  
minde verilen uyarı sayısının artırılması ile cevaplarda  
meydana gelen değişikliklerin saptanması esasına da-  
yanır (31,32,44). Kontrol grubumuzda stimulusun sa-  
nıyordeki tekrar sayısının her bir adet artışı için, V.  
dalga latansında meydana gelen gecikme 7.6 (+0.5)  
us olarak ölçülmüştür (26). Bu nedenle elde edilen ce-  
vapların latans artıları, 8.6 us'e kadarsa normal,  
8.6-9.1 us ise şüpheli patolojik, 9.1 us'den fazla ise pa-  
tolojik kabul edilmiştir. Ancak komple formlu cevap-  
ların azlığı ve bazı teknik nedenlerle stres testi sınırlı  
sayıda olguya yapılmıştır.

Tablo-VIII'de görüldüğü üzere, her hasta grubunda  
stres testine ait patolojik değerler yaklaşık aynı  
oranda saptanmıştır. Ayrıca tümör çapına bağlı ola-  
rak meydana gelen bir farklılık da görülmemiştir  
(Tablo-IV).

#### (V) Kontralateral Cevapların Kantitatif Analizi:

Bu analiz sadece posterior fossanın bir yarısında  
lokale olan tümör olgularında ve tümörün bulun-  
madığı tarafın cevaplarında yapılmıştır. Analizde pik  
ve interpik latansların, kontrol grubu ve interaural de-  
ğerlerle mukayesesi ve stres testi sonuçları değerlendirilmiştir. Tablo-IV'de de görüldüğü üzere stres testi  
hariç bütün mukayeselerde, tümör çapı büyündükçe  
patolojik değer oranın arttığı müşahade edilmiştir.

#### TARTIŞMA

Beyin sapi uyarılmış işitme cevaplarının otonöro-  
lojik tanıda önemli bir yeri vardır. Bu yer, başarılı her  
yöntemde olduğu gibi, yüksek doğruluk oranından  
kaynaklanmaktadır. ABR'nin patolojik olduğu zaman,  
sekizinci sinir, pontoserebellar köşe ve beyin sapi bölgelerinin  
diğer lezyonlarının tanısındaki doğruluk oranı,  
yayın bir görüşle % 90'ın üzerindedir. Bu oranı

**Tablo VIII : Strees testi sonuçlarının hasta gruplarına göre, mukayeseli dağılımı**

HASTA GRUBU	DEĞERLENDİRME	V.DALGA LATANS ARTIŞI
TEK TARAFLI LEZYONLAR HASTA KULAK n=17	YAPILAMAYAN	% 58
	PATOLOJİK	% 24 (Max:54.8 $\mu$ s/1 STO)
	ŞÜPHELİ	
	NORMAL	% 18
TEK TARAFLI LEZYONLAR SAĞLAM KULAK n=15	YAPILAMAYAN	% 13
	PATOLOJİK	% 33 (Max:13.1 $\mu$ s/1 STO)
	ŞÜPHELİ	
	NORMAL	% 54
BEYİN SAPI BÖLGESİNDE YERLEŞİK ORTA HAT LEZYONLARI HER İKİ KULAK n=14	YAPILAMAYAN	% 36
	PATOLOJİK	% 21 (Max:19.8 $\mu$ s/1 STO)
	ŞÜPHELİ	% 7
	NORMAL	% 36
TANISIZ OLGULAR HER İKİ KULAK n=4	YAPILAMAYAN	
	PATOLOJİK	
	ŞÜPHELİ	% 25
	NORMAL	% 75

Max : Gruptaki olgularda elde edilen en yüksek latans gecikmesi

Yapılamayan : Stres testi yapılamayan hasta oranı.

Patolojik : Test sonucu 9.1 us/1STO'nun üzerinde olan hasta oranı.

Şüpheli : Test sonucu 8.6-9.1 us/1STO arasında olan hasta oranı.

Normal : Test sonucu 8.6 us/1STO'ya kadar olan hasta oranı.

Selters ve Brackmann (1977) % 92.7 Clemis ve McGee (1979) % 92, Glasscock ve arkadaşları (1979) % 98, Eggermont ve arkadaşları (1980) % 94.6, Harker (1980) % 94.6, Terkildsen ve arkadaşları (1981) % 96, Bauch ve arkadaşları (1982) % 96 olarak saptamışlardır (1.4.6.8.11.37.42). Çalışmamızda ABR patolojisi saptadığımız 25 olgunun 23'ünde tümör saptanmıştır. Bu durumda elde ettigimiz doğruluk oranı % 92 olmaktadır. Ancak bir olgumuzda ağır nörolojik arazlara karşın lezyon belirlemede yetersiz kalışımız göz önüne alınırsa, bu oran % 96 olarak da kabul edilebilir.

Retrokoklear patolojilerin ABR ile araştırılmasında yalancı pozitiflik oranı oldukça düşüktür. Örneğin Selters ve Brackmann (1977), Glasscock ve arkadaşları (1977) ile Terkildsen ve arkadaşları (1981) bu oranın yaklaşık % 10 civarında bildirmiştir (8.37.42). Ancak literatürde yüksek oranlara da rastlamak mümkündür. Clemis ve McGee (1979) ile Bauch ve arkadaşları (1982) % 25 ve % 33 gibi oranlar bildirmiştir (1.4). Musiek ve arkadaşları (1983) yüksek yalancı pozitifliğin nedeninin ABR olmadığını, çoğu kere testi yapanın hatasından kaynaklandığını belirtmektedirler. Yazalar bu hataları farklı klinik populasyonların test edilmesine, farklı anomalite kriterlerinin seçilmesine, test prosedürü farklılıklarına ve hatta ekipmana bağlanmaktadır (21). Yine Musiek ve arkadaşları (1980) bir başka çalışmada, anomalite kriterlerinin dar tutulması durumunda, özellikle yüksek frekans natürlü işitme kayiplarında yalancı pozitiflik oranının yükseldiğine işaret etmektedirler (23).

#### Morfolojik Analizi:

ABR'de retrokoklear tutulum için en önemli, bunun yanı sıra en subjektif değerlendirme ölçüsü cevabın morfolojisidir (6.9.21.29). Koklea ötesi lezyonlarda ABR, tam cevap yokluğu, inkomplet cevap, bozuk formasyonlu komple cevap, ya da normal formda cevap tarzında elde edilmektedir (19).

İşitme yollarını etkileyen posterior fossa tümörlerinde ABR'de hiçbir dalganın görülmeyişinin oranı, Selters ve Brackmann (1977.1979)'a göre % 50, Eggermont ve arkadaşları (1980)'na göre % 30 ve Harker (1980)'a göre % 28'dir 6.11.31.37. Bizim serimizde tek taraflı tümörlerde etkilenen taraf cevabı dikkate alındığında, komple cevap yokluğu oranının % 25 civarında olduğu; buna orta hat yerleşimli tümörlerin her iki taraf cevabı bir arada eklendiğinde oranının % 20 dolaylarına düşüğü görülmektedir (Tablo-III). Musiek ve arkadaşları (1985) rekrokoklear patolojilerde komple cevap yokluğu yüksek olmasına karşın, bu bulgunun ağır sensorial işitme kayiplarında da görülmesi nedeniyle, rekrokoklear patoloji tanısı konurken dikkatli olunması gerektiğini, cevap yokluğunun

yanında başka kriterlerin de aranmasına dikkat çekmektedirler (21).

Hause ve Brackmann (1979) ile Selters ve Brackmann (1977) 8. sinir ve pontoserebellar köşe tümörlerinde, tümörün bulunduğu yerin internal akustik kanala yakınlığı oranında, komple cevap yokluğunun arttığını ifade etmektedirler (13.37). Eggermont ve arkadaşları (1980) ise bu yakınlığın yanı sıra, tümörün 8. sinirle ilişkisinin de cevap yokluğu oranını artırduğunu belirtmektedirler (6). Bu konuda elde ettigimiz izlenim bahsettiğimiz görüşlere uygundur. Nitekim komple cevap yokluğu elde ettigimiz olgularda olayın tümör çapı ile ilgili olmadığı anlaşılmıştır. Örneğin 17 mm çaplı tümörü olan bir olgumuzda (Olgu-14) hiç cevap elde edilmezken, çapları 35-45 mm arasında değişen 3 olguda (Olgu-3.8.13) inkomplet cevaplar bulunmuştur.

ABR'de inkomplet cevap sık karşılaşılan bir durumdur. Stimulus şiddetinin tüm komponentleri ortaya çıkarabilecek düzeyde olmasına rağmen inkomplet cevabın görülmesi, ya periferik bir işitme kaybını, ya da rekrokoklear tutulumu gösterir. Ancak periferik işitme kayiplarında inkomplet cevap, mutlaka erken komponentlerin bulunmayı tercih eder. Retrokoklear işitme kayiplarında ise tersine geç komponentler görürmez (6.13.25.27.34).

Selters ve Brackmann (1977) posterior fossa tümörlerinde I, III ve V. dalgaların bulunmama oranlarını, I. dalgası için % 63, V. dalgası için % 46 olarak saptadıklarını rapor etmişlerdir (37). Bizim serimizde ise tümörlü tarafta elde edilen oranlar; I. dalgası için % 18.5 III ve V. dalgalarını % 44.4'dür. Eggermont ve arkadaşları (1980) I. dalganın varlığı halinde V. dalganın bulunmayışını, rekrokoklear patolojinin kesin delili olarak kabul etmektedirler (6). Harris ve Almquist (1981) ile Rosenhall ve arkadaşları (1981) posterior fossa lezyonlarında I. dalganın çoğunlukla izlediğini, III ve V. dalgaların görülmeye sikliğinin giderek azaldığını belirtmektedirler (12.34). Moller ve arkadaşları (1982) ile Rowe (1981) ise inkomplet rekrokoklear cevaplarda III. dalgaların yokluğunun, V. dalgaların yokluğunundan daha çok görüldüğünü belirtmektedirler (18.36). Çalışmamızda inkomplet cevaba 8 olguda rastlanmıştır. Bunların hepsinde I. dalgalar mevcutken, sadece birer olguda III. ve V. dalgalar ayrı ayrı olarak I. dalgaya eşlik etmemektedir. Gerek literatür verileri, gerekse kendi bulgularımız, geç komponentleri noksan olan inkomplet cevapların, retrokoklear tutulumun en önemli göstergesi olduğunu ortaya koymaktadır.

Retrokoklear patolojilerde dalgaların tüm komponentleri içermesine karşın; gürültülü, yani bozuk formda elde edilişi sıkılıkla rastlanan bir durumdur (18.19). Bu tür durumlarda hastanın sakin olma-

sına, işitme kaybının fazla olmamasına ve herhangi bir teknik problem bulunmamasına rağmen elde edilen cevaplar gürültülüdür. Gürültünün ABR'deki anlamı, aynı hastadan arka arkaya elde edilen traselerin, herhangi bir problem olmamasına karşın, benzemekle beraber birbirini tutmamasıdır (18). Serimizde gürültülü dalga formuna çok yüksek oranda rastlanmış olması, bu bulgunun rekrokoklear tutulum için önemli olduğunu göstermektedir. ABR'deki gürültünün nedeni, fonksiyone olan işitme fibrili sayısında tümör nedeniyle meydana gelen azalma ile açıklanmaktadır (28).

Rekrokoklear patolojilerde tamamen normal dalga formu çok nadir görülen bir durumdur (4.31). Ancak bu tür traselerin kantitatif anazilinde patoloji bulunur (1.4.31.33.42). Çalışmamızda tümörlü tarafta normal dalga formu sadece bir olguda görülmüştür. Ancak bu hastada sayısal analizde önemli patolojik değerler elde edilmiş olup, tartışmanın ilerleyen bölümünde konu edilecektir.

#### **Kontralateral Cevabin Morfolojisi:**

Koklea ötesi lezyonların tanısında kalitatif açıdan ABR'nin bir diğer önemi de, büyük çaplı tek taraflı tümörlerde beyin sapına bası nedeniyle karşı taraf işitme yollarında meydana gelen değişimleri göstermesidir. Nodar ve Kinney (1980) 2 cm'den büyük tümörlerin, karşı taraf cevabinin latanslarının uzamasına, amplitüdlerinin düşmesine ve nihayet basık ve geniş dalga formuna yol açıklarını belirtmektedirler. Yazarlar böyle durumlarda geniş ve basık, tekrarlanan traselerde gürültülü olarak elde edilen IV-V dalga kompleksinden söz etmektedirler (28). Bu görüş başka çalışmalar tarafından da desteklenmiştir. Ancak lezyonun çapı konusunda fikir birliği yoktur (6.17.32). Olgularımızda 15 mm'ye kadar olan tümörlerde bu durum görülmemiştir. Ancak bundan büyük tümörlerde oldukça yüksek oranda izlenmiştir. Bu arada bazı büyük tümörlerde beklenenin aksine kontralateral etkilenmenin görülmemiğini belirtmemiz gereklidir. Böylece durumlar tümörün pontoserebellar köşedeki büyümeye istikameti ve tümöron yapısı ile izah edilmektedir (28).

#### **Absolut Latanslar:**

Rekrokoklear lezyonların sadece absolut dalga latansları ile tesbiti bazı yazarlar tarafından araştırılmış ve tümör lehine bazı kanıtlar elde edilebilmiştir. Ancak bu metod birçok araştırmacı tarafından yeterli bulunmamaktadır. geniş serilerde ortalama değerlerle elde edilen patolojik verilerin tek vak'a analizine uygulanması durumunda, değerlendirme hatasının artacağı belirtilmektedir (1.4.8.34).

Tümörlü hastalarda eğer tümör öncesi dönemden

kalma kondüktif veya sensorial bir işitme kaybı söz konusu değilse, I. dalganın absolut latansı sağlıklı koklear fonksiyon nedeniyle normal sınırlardadır. Aksi halde I. dalga latansı işitme kaybı nedeniyle gecikir. Ancak rekrokoklear patolojilerde geç latanslı I. dalga, tümör sonrası dönemdeki değişikliklere bağlı olarak da oluşabilir. Bu durum özellikle kanal içi veya kanalın intrakraniyal çıkışına yakın yerleşimli tümörlerde görülmektedir. Bu tümörler bası etkisiyle koklear kan akımını azaltmaktadır ve ilave sensorial kayba neden olmaktadır (13.37).

Retrokoklear bir tümör şüphesinde I. dalganın absolut latansının normal değerde olması önemli bir indikatör olmakla beraber, işitme fonksiyonu normal olanlarda da aynı durum görüldüğünden kesin bir kanıt olamaz. Aynı şekilde I. dalganın en yüksek uyarı şiddetine elde edilememesi veya geç latansla elde edilmesi periferik işitme kayiplarında da görüldüğünden, tümör lehine veya aleyhine olarak yorumlanamaz (37).

Çalışmamızda gerek tümörün bulunduğu yere, genelde tümörün çapına göre oluşturulan hasta gruppında, I. dalganın absolut latansının normal ve patolojik değerlerde dağılımı arasında belirgin bir özellik görülmemiştir. Tüm gruplara bakışta I. dalga çoğunlukla normal sınırlarda latans ile elde edilmiştir. I. dalga yokluğu ile patolojik latanslı I. dalgaya sahip olgu sayımız az olmakla beraber, başka çalışmalarda daha da düşük oranlar bildirilmiştir (12.34.37). Musiek ve arkadaşları (1980) bu durumu farklı popülasyonların test edilmesi, lezyonun sekonder etkisi ve kişisel değişikliklerle açıklamaktadırlar (23).

Beşinci dalgadaki durum da aynen I. dalgadaki gibidir. Jerger ve Mauldin (1978) ile Rosenhammer (1981) yüksek frekans natürlü sensorial işitme kayiplarında oldukça geç latanslı V. dalga görülebileceğini, absolut latansa bakarak tümör tanısı koymamak gerekliliğini işaret etmektedirler (15.35). Çalışmamızda V. dalga absolut latansı çok yüksek oranda patolojik bulunmuş, normal değerlere nadiren rastlanmıştır. Daha önce yayınladığımız iki ayrı çalışmanın bulgularını da dikkate aldığımızda, sadece asolut latans uzunluğu ile tümör tanısı koymaının hata olduğu konusundaki görüşlerin haklı olduğunu görmekteyiz. Örneğin bu çalışmalardan birinde sadece yüksek frekans natürlü işitme kayipları incelenmiş ve V. dalganın absolut latansının, akustik travmalı grupta, normalden 0.77 ms daha uzun olduğu görülmüştür. Presbiyakuzılı grupta ise bu fark 1.00 ms'e çıkmıştır (24). Flat odyogramlı sensorial kayıplı olguları inceleyen diğer bir çalışmada ise bu fark çok düşük ve ortalama 0.16 ms olarak ölçülmüştür (25).

## **İnterpik İntervaller:**

Retrokoklear patolojilerin ABR ile tanısında en güçlü tanı bulgusu interpk intervallerin ölçümünde elde edilen bulgular olmaktadır. Bunlar içinde en çok kullanılan I-V intervalinin tayinidir. Bunun normal değeri değişik çalışmalarla yaklaşık 4 ms'lik latans ve 0.2'lik SD'dir (2,6,20,39,40). I-V intervalinin I-III bölümü 2.0 ms'den biraz fazla, III-V bölümü ise biraz daha az latans ve 0.1-0.2 ms SD ile oluşturmaktadır (2,6,39,40). Her üç intervalın şiddet faktöründen bağımsız olduğu ve periferik işitme kayıplarında bir değişiklik meydana getirmediği bilinmektedir (10,25,28,29,41). Ancak periferik işitme kayıplarının sensorial komponentinde, ABR'nin geç komponentlerindeki latans gecikmesinin erken komponentlere oranla az olması dolayısıyla, I-V intervali bir miktar daralmakta ancak bu durum şiddet faktöründen etkilenmemektedir (3,5,25).

Posterior fossa tümörlerinde I-III, III-V intervallerde ait çalışmalarla, mütalaası için çeşitli kriterler ileri sürülmüştür. I-III ve dolayısıyla I-V intervalindeki uzamaların, akustik sinirin beyin sapında önceki kısmını etkileyen lezyonlar için diagnostik olduğu belirtilmektedir (4,5,6,7,9,17,37,38,42). III-V ve dolayısıyla I-V intervalindeki uzamaların ise beyin sapi lezyonlarına has bir bulgu olduğu ifade edilmektedir 12,17. Bu nedenle I-V intervalindeki uzama bize ancak posterior fossada yeri belli olmayan bir lezyonun varlığını gösterebilir. Halbuki bu intervalin komponentlerinin ayrı ayrı değerlendirilmesi lokalizasyon hakkında fikir verebilmektedir.

Eggermont ve arkadaşları (1980) I-V intervalinin 4.99 ms'den fazla olması halinde, bu bulgunun lezyon göstergesi olduğunu, 4.33-4.99 ms arasındaki değerleri ise şüpheli karşılaşlıklarını belirtmektedirler 6. Prosser ve arkadaşları (1979) ile Musiek ve arkadaşları (1980) bu konuda 4.70 ve 4.60 ms gibi farklı değerler bildirmiştir 8,23. Görüldüğü gibi bu intervalin patolojik değeri için kesin bir rakam söz konusu değildir. Keza daha önce yaptığımız bir çalışmada kondüktif bir işitme kaybında 4.61 ms'ye kadar açılmış I-V intervali saptanmıştır 25.

Bu çalışmada kontrol grubunda I-V intervali için maksimum değer yaklaşık 4.35 ms civarındadır. Tümörlü olgularda elde ettigimiz değerler genelde 5.00 ms'nin üzerinde olmakla beraber, 3.92 ve 4.64 ms gibi tümör için küçük rakamlar da elde edilmiştir. Bu rakamları 25 olgunluk bir seride istisna kabul etmek mümkün değildir. Bu nedenle I-V intervaline ait абсолют değerlerin tümör lehine diagnostik bir veri olmakla beraber, her zaman geçerli olarak kabul edilmemesi gerekliliği ortadadır. Özellikle I-V intervali normal veya normale yakın olan şüpheli olgu-

larda ABR'nin kalitatif ve kantitatif diğer bulguların da mutlaka dikkate alınmak gereklidir.

## **İnteraural Mukayese:**

ABR intervallerine ait komponentlerin interaural mukayesesini en çok kullanılan ve en yararlı yöntemdir. Bu metodla akustik tümörlerin % 90'unun tesbit edilebileceği bildirilmiştir (1,4,37,38,42). Ancak komple cevap yokluğu ve inkomplet cevaplı ABR'de bu mukayese en azından tüm komponentler ve intervaller için yapılamayacaktır. Buna rağmen birçok yazar, V. dalga absolut interaural latans farkının 0.3 ms'den fazla olmasını retrokoklear tutulumda kanıt olarak kabul etmektedirler (4,42,43). Bu arada Clemis ve McGee (1979) hasta tarafta 65 dB'den fazla bir işitme kaybı varsa, bu farkın 0.4 ms'nin üzerinde olması gerekliliğine dikkat çekmektedir (4). Bauch ve arkadaşları (1982) interaural farkı tüm komponentler ve intervaller için 0.2 ms'ye kadar normal kabul etmekte, bunun üzerindeki değerleri retrokoklear tutulum kabul etmektedirler. Yazalar bu kriteri esas aldıktan sonra % 25 gibi yüksek yalancı pozitiflik oranı bildirmiştirler (1).

Interaural latans farkını sadece pik latanslar için kullanmak ve aradaki farka bakarak tümör tanısı koymak kanırmazca hatadır. Özellikle yüksek frekans拿了lısensoriyel kayiplarda bu yolla hemen hemen her olguda şüpheli değerler elde etmek ihtimal dahilindedir. Nitelikim Musiek ve arkadaşları (1980) anomalite kriterlerinin bu şekilde yanlış tesbiti ile hatalı tanılara dikkat çekmişlerdir (23). Buna karşın interpk intervallerin interaural farkının mukayesesini ile tümör tanısında hata payı çok düşüktür. I-V intervalinin kulaklar arasındaki farkının ne kadardan sonrası için patolojik kabul edileceğine ilişkin, literatürde farklı rakamlar bildirilmiştir. Örneğin Terkildsen ve arkadaşları (1981) 0.3 ms'den, Bauch ve arkadaşları (1982) 0.2 ms'den fazla farklı patolojik kabul etmektedirler (1,42). Bu konudaki kanaatimiz 0.4 ms ve üzerindeki değerlerin patolojik kabul edilmesi halinde, yalancı pozitiflik oranının azalacağı yönündedir. Buna rağmen tek taraflı tümörü olan bir olgumuzda (Olgu-16) aradaki farkın 0.3 ms'nin altında olduğunu bildirmemiz gereklidir.

## **Stres Testi:**

Retrokoklear patolojilerin ABR ile tanısında belki de en fazla tartışma konusu olan test, stres testidir. Clemis ve McGee (1979) vestibüler shwannomalarında stres testi ile I-V intervalinde anormal uzama, özellikle geç komponentlerde olmak üzere latanslarda gecikme ve hatta yüksek tekrarlama oranlarında V. dalganın kaybolması gibi bulgulardan söz etmektedirler (4). Pratt ve arkadaşları (1981) stres testi ile retrokoklear patolojilerde bozukluklar gördüklerini;

ayrıca nükleer patolojilerin nöral lezyonlardan, beyaz cevher patolojilerinin gri cevher patolojilerinden daha fazla olmak üzere stres testinden etkilendiğini ifade etmektedirler (31). Buna karşın Chiappa ve arkadaşları (1979) retrokoklear lezyonların her zaman stres testinden abnormal olarak etkilenmediklerini, hatta bazı sensorial kayıplar ile normal işitmeli kişilerde bile patoloji görülebildiğini belirtmişlerdir. Yazarlar bu nedenle stres testinin diagnostik bir yanının bulunmadığını iddia etmektedirler (2).

Çalışmamızda stimulus tekrarlama oranının artışı ile bazı olgularda patolojik boyutlarda etkilenme tesbit edilmiştir. Ancak bu durum ne tümör çapına, ne tümörün bulunduğu yere, ne de tümörün cinsine göre belirgin bir özellik göstermemiştir. Bu nedenle stres testinin hangi mekanizma ile hangi tip olguya etkilediğine ilişkin bir yorum yapmamız söz konusu değildir. Bazı olgularımızda stres testi ile beklenenin aksine, normal kişilerde görülen etkilenme dahi olmamıştır.

### **Kontralateral Cevaplarda Sayısal Bulgular:**

Büyük çaplı pontoserebellar köşe tümörleri beyin sapına bası yaparak karşı taraf işitme yollarındaki elektriksel akımı etkilediği gibi, sayısal verilerde patolojik değerlere ulaşmaktadır. Bu tesbit tümörlü tarafta komple cevap yokluğu elde edilen olgular için tümör lehine tek kanittır. Nodar ve Kinney (1980) bu durumun çapı 2 cm'den büyük tümörlerde gözlenebileceğini belirtmektedirler (28). Başka bazı çalışmalar da bu konu vurgulanmış, ancak tümör çapı konusunda belirgin bir ölçü getirilmemiştir (6,17). Çalışmamızda tümör çapı büyük ölçüde sayısal analizde patolojik değerlere artı盲目 görülmüştür. Ancak istisnai hallerin de olduğunu belirtmemiz gereklidir. Özdamar ve Muş'a (1991) göre bu istisnalar tümörün köşedeki gelişme istikameti ile ilgilidir (29).

### **YORUM**

Sonuç olarak posterior fossa tümörlerinin elektrofiziolojik olarak saptanmasında, ABR'de kalitatif ve kantitatif birçok bulgu bize yardımcı olmaktadır. Ancak görülen odur ki, bir bulguya bakarak tümör tanısı koymak hata oranının artmasına yol açmaktadır. Bu nedenle bu hastalıkların tanısında birçok bulguya etüd edebilecek şekilde çok sayıda kayıt yapmak ve elde edilen verileri bir arada değerlendirmek en sağlıklı yol olacaktır.

### **KAYNAKLAR**

- Bauch C, Rose D, Harner S: Auditory brainstem response results from 255 patients with suspected retrocochlear involvement. *Ear and Hearing*. 3:83-86, 1982
- Chiappa K, Gladstone K, Young R: Brainstem auditory evoked responses. Studies of waveform variations in 50 normal human subjects. *Arch.Neurol.*, 36:81-87, 1979
- Chiappa K, Yiannikas C: Evoked Potential in Clinical Medicine. Raven Press, New York, 1983
- Clemis J, McGee T: Brainstem electric response audiometry and the differential diagnosis of acoustic tumors. *Laryngoscope*. 89:31-42, 1979
- Coats AC, Martin JL: Human auditory nerve action potentials and brainstem evoked responses. *Arch. Otolaryngol.*, 103:605-622, 1977
- Eggermont JJ, Don M, Brackmann DE: Electrocochleography and brainstem electric responses in patients with pontine angle tumors. *Ann. Otol. Rhinol. Laryngol.*, Suppl. 75:1-19, 1980
- Gerhard HJ, Wagner H, Werbs: Electrocochleography and brainstem evoked response recordings in the diagnosis of acoustic neurofibromas. *Acta Otolaryngol.*, 99:384-386, 1985
- Glasscock M, Jackson C, Josey A, Dickins J, Wiet R: Brainstem evoked response audiometry in clinical practice. *Laryngoscope*. 89:1021-1034, 1979
- Gibson WPR, Beagley HA: Electrocochleography in the diagnosis of acoustic neurofibromas. *J. Otolaryngol.*, 90:127-139, 1976
- Giroux AP, Pratt LW: Brainstem evoked response audiometry. *Ann. Otol. Rhinol. Laryngol.*, 92:183-186, 1983
- Harker L: ABR in cases of acoustic tumors. Presented at a Symposium on "Auditory Evoked Response in Otology and Audiology". Cambridge, MA, 1980
- Harris J, Almquist B: ABR in operatively verified cerebellopontine angle tumors. *Scand. Audiol.*, Suppl. 13:113-114, 1981
- House J, Brackmann D: Brainstem audiometry in neurological diagnosis. *Arch. Otolaryngol.*, 105:305-309, 1979
- Jacobson JT, Jacobson GP: The auditory brainstem response in multiple sclerosis. *Seminars in Hearing*. 11:248-264, 1990
- Jerger J, Mauldin L: Prediction of sensorineural hearing level from the brainstem evoked response. *Arch. Otolaryngol.*, 104:181-187, 1978
- Johnson CW: Auditory test results in 500 cases of acoustic neurofibromas. *Arch. Otolaryngol.*, 103:152-158, 1977
- Moler MB, Moller AB: Brainstem auditory evoked potentials in patients with cerebellopontine angle tumors. *Ann. Otol. Rhinol. Laryngol.*, 92:645-649, 1983
- Moller MB, Moller AB, Janetta P: BSER in patient with hemifacial spasm. *Laryngoscope*, 92:848-852, 1982
- Musiek FE: ABR in eighth nerve and brainstem disorder. *Am. J. Otolaryngol.*, 3:243-248, 1982
- Musiek FE, Geurkink N: Auditory brainstem response and central auditory test findings for patients with brainstem lesions, a preliminary report. *Laryngoscope*, 92:891-900, 1982
- Musiek FE, Gellogoly KM: ABR in eighth nerve and low brainstem lesions. In "Jacobson JT (ED): The Auditory Brainstem Response". College Hill Press, San Diego, p:181-202, 1985
- Musiek FE, Mueller R, Kibbe K, Rockliffe R: Audiologic test selection in the detection of eighth nerve disorders. *Am. J. Otolaryngol.*, 4:281-287, 1983
- Musiek FE, Scabs E, Geurkink N, Weider D: Auditory brainstem response and eighth nerve lesions. A review and presentation of cases. *Ear and Hearing*, 1:279-301, 1980
- Muş N, Göksu N, Dündar A, Özkapitan Y, Kamımtürk E: Yüksek frekanslı sensorial işitme kayıplarında stimulus tekrarlama sayısının beyin sapi uyarılmış işitme potansiyellerine etkisi. *Türk-İş Klinikleri Tıp Bilimleri Araştırma Dergisi*, 8:190-196, 1990
- Muş N, Kahramanyol M, Kamımtürk E: İletimi tipi ve alıcı tip işitme kayıplarının tanısında beyin sapi cevap odyometrisi (BE-RA)'nın önemi. *Otolarengoloji ve Stomatoloji Dergisi*, 2:65-73, 1988
- Muş N, Yağlıdere Ö, Önder T, Aktaş D, Çivitçi D, Dündar A: Erişkin insanlarda beyin sapi uyarılmış işitme cevaplarının stimulus parametreleri yönünden araştırılması. *GATA Bülteni*, 33:1093-1106, 1991.

27. Muş N, Yetişer S, Kahramanyol M, Özkapitan Y, Dündar A, Kanimtürk E: Retrokoklear lezyonlarda beyin sapi uyarılmış işitme cevapları. GATA Bülteni, 32:591-603, 1990
28. Nodar RH, Kinney SE: The contralateral effects of large tumors on brainstem auditory evoked potentials. Laryngoscope, 90: 1762-1768, 1980
29. Özdamar Ö, Muş N: İşitsel Beyin Sapi Yanıtları. Temel Bilgiler ve Klinik uygulamaları. 1991 (Baskıda)
30. Picton TW, Stapells DR, Campell KB: Auditory evoked potentials from the human cochlea and brainstem. J. Otolaryngol., Suppl. 9:1-41, 1981
31. Pratt H, Ben David Y, Peled R, Podoshin L, Scharf B: Clinical promise of increasing stimulus rate. Electroenceph. Clin. Neurophysiol., 51:80-90, 1981
32. Pratt H, Sohmer H: Intensity and rate functions of cochlear and brainstem evoked responses to click stimuli in man. Arch. Otorhinolaryngol., 212:85-92, 1976
33. Prosser S, Arslan E, Pastore A: Auditory brainstem responses and hearing thresholds in cerebellopontine angle tumors. Arch. Otolaryngol., 239:183-189, 1984
34. Rosenhall U, Hedner M, Bjorkmann G: ABR and brainstem lesions. Scand. Audiol., Suppl. 13:117-123, 1981.
35. Rosenhammer H: The auditory evoked brainstem electric response (ABR) in cochlear hearing loss. Scand. Audiol., Suppl. 13:83-93, 1983
36. Rowe M: Brainstem auditory evoked response in neurological disease. A review. Ear and Hearing, 2:41-51, 1981.
37. Selters WA, Brackmann DE: Acoustic tumor detection with brainstem electric response audiometry. Arch. Otolaryngol., 103:181-187, 1977
38. Selters WA, Brackmann DE: Brainstem electric response audiometry in acoustic tumor detection. In "Hause W, Luetje E (Eds); Acoustic Tumors" University Park Press, Baltimore, 1979
39. Starr A, Achor J: Auditory brainstem responses in neurological disease. Arch. Neurol., 32:761-768, 1975
40. Stockard JJ: Brainstem auditory evoked potentials in adult and infant sleep apnea syndromes, including sudden infant death syndrome and near miss for sudden infant death. Ann. N.Y. Acad. Sciences, 338:443-465, 1982
41. Stockard JJ, Stockard JE, Westermoreland BF: Brainstem auditory evoked responses. Normal variations as a function of stimulus and subject characteristics. Arch. Neurol., 36:823-831, 1979
42. Terkildsen K, Osterhammel P, Thomsen J: The ABR and MLR in patients with acoustic neuromas. Scand. Audiol., Suppl. 13:103-108, 1981
43. Thomsen J, Terkildsen K, Osterhammel P: Auditory brainstem responses in patients with acoustic neuromas. Scand. Audiol., Suppl. 13:179-184, 1981
44. Yagi T, Kaga K: The effect of click repetition rate on the latency of auditory evoked brainstem response and its clinical use for a neurological diagnosis. Arch. Otorhinolaryngol., 222:91-97, 1979